

# A ~ 190 区超形变带能谱分析和自旋的决定\*

陈星藻 邢正

(兰州大学现代物理系, 730000)

## 摘要

利用宏观模型系统地分析了 A ~ 190 区七个超形变核十五条超形变带的能谱, 决定了超形变带的自旋值, 用三参数公式计算了能谱, 运动学转动惯量  $\mathcal{J}^{(1)}$  和动力学转动惯量  $\mathcal{J}^{(2)}$ , 并与实验进行了比较, 得到了较满意的结果。

最近实验已在 A ~ 150 和 A ~ 190 区发现不同超形变核的转动带具有似乎全同的跃迁能量 (在 1—2 keV 精度内), 这决不是偶然的巧合, 可能有深刻的物理内容。

Stephens 指出<sup>[1,2]</sup>, 这种事实可以看作是一种量子化顺排效应 ( $\frac{1}{2}\hbar$  或  $1\hbar$ ), 另一方面 C.L. Wu 等人认为<sup>[3,4]</sup>, Stephens 的结论本质上依赖于超形变带指定的自旋值, 但自旋值没有测定, 现在实验中倾向指定的自旋值具有不确定性, 若将这些超形变带的自旋值进行适当的移动 (如  $1\hbar$ ), 就不存在非零量子化自旋顺排, 因此如何看待这一实验事实, 关键在于精确地决定超形变带的自旋值, 而现阶段的实验技术尚不能测定其自旋值。能否从  $\gamma$  跃迁的能量决定自旋值是一个极为重要的问题。我们已经指出<sup>[5]</sup>, 吴崇试-曾谨言公式 (W-Z 公式)<sup>[6-9]</sup>可以用于分析超形变带的带结构, 根据这一公式由测定的跃迁能量可以准确地决定超形变带的自旋值, 本文主要目的是对 A ~ 190 区已知的所有超形变带进行唯象分析, 首先确定其自旋值, 然后拟合其能谱, 最后给出运动学转动惯量  $\mathcal{J}^{(1)}$  和动力学转动惯量  $\mathcal{J}^{(2)}$ 。

在 A ~ 190 区,  $^{191}\text{Hg}^{[10,11]}$ 、 $^{192}\text{Hg}^{[12,13]}$ 、 $^{193}\text{Hg}^{[14,15]}$ 、 $^{194}\text{Hg}^{[16,17]}$ 、 $^{194}\text{Tl}^{[18]}$ 、 $^{194}\text{Pb}^{[19,20]}$ 、 $^{196}\text{Pb}^{[20]}$  已经发现 15 条超形变带, 其中既有偶偶核, 又有奇 A 核, 还有奇奇核; 既有 Yrast 带, 又有激发带, 我们用 W-Z 公式进行分析, 其中二参数表示式为

$$E(I) = a[\sqrt{1 + bI(I+1)} - 1], \quad (1)$$

则

$$E_\gamma(I) = a[\sqrt{1 + bI(I+1)} - \sqrt{1 + b(I-2)(I-1)}]. \quad (2)$$

由于自旋  $I$  的变化只能是整数, 能谱  $E_\gamma(I)$  对  $I$  的指定值相当灵敏, 因此我们很容易由  $\gamma$  射线能量决定超形变带的自旋值<sup>[5]</sup>。具体方法是: 假定超形变带的自旋已经指定, 利用最低自旋的两条  $\gamma$  射线能量, 由(2)式定出参量  $a, b$ , 若指定的自旋正确, 则(2)式应最佳拟合所有实验数据, 若指定的自旋不正确, 则由此定出的参数  $a, b$  就不能很好地描述

本文 1991 年 2 月 2 日收到。

\* 国家自然科学基金和国家教委博士点基金资助。

表 1

		$I_{\text{exit}}(\hbar)$	$a(\text{keV})$	$b$	$c$	$\Delta(\text{keV})$	$(I_{\text{exit}})_{\text{exp}}(\hbar)$
$^{192}\text{Hg}$		8	46382	$2.422 \times 10^{-4}$	$5.768 \times 10^{-10}$	2.5	8 <sup>[12]</sup>
$^{191}\text{Hg}$	$b_1$	15.5	103906	$1.008 \times 10^{-4}$	$-2.469 \times 10^{-10}$	0.97	14.5 <sup>[4]</sup>
	$b_2$	12.5	68513	$1.547 \times 10^{-4}$	$1.906 \times 10^{-10}$	0.37	12.5 <sup>[14]</sup>
	$b_3$	13.5	65003	$1.628 \times 10^{-4}$	$-1.177 \times 10^{-10}$	0.38	13.5 <sup>[14]</sup>
$^{193}\text{Hg}$	$b_1$	7.5	24375	$4.469 \times 10^{-4}$	$1.533 \times 10^{-8}$	5.6	7.5 <sup>[15]</sup>
	$b_2$	10.5	73023	$1.457 \times 10^{-4}$	$-6.595 \times 10^{-10}$	1.0	10.5 <sup>[15]</sup>
	$b_3$	9.5	60109	$1.774 \times 10^{-4}$	$1.332 \times 10^{-11}$	1.1	9.5 <sup>[15]</sup>
	$b_4$	13.5	136870	$7.127 \times 10^{-5}$	$9.002 \times 10^{-10}$	4.2	13.5 <sup>[15]</sup>
$^{194}\text{Hg}$	$b_1$	10	41639	$2.697 \times 10^{-4}$	$1.467 \times 10^{-9}$	3.9	10 <sup>[2]</sup>
	$b_2$	11	71373	$1.483 \times 10^{-4}$	$-3.668 \times 10^{-10}$	0.91	11 <sup>[2]</sup>
	$b_3$	8	63116	$1.691 \times 10^{-4}$	$-2.885 \times 10^{-10}$	0.71	8 <sup>[2]</sup>
$^{194}\text{Tl}$	$b_1$	12	125729	$7.952 \times 10^{-5}$	$-3.308 \times 10^{-10}$	0.71	12 <sup>[18]</sup>
	$b_2$	10	64633	$1.622 \times 10^{-4}$	$6.197 \times 10^{-10}$	0.97	10 <sup>[18]</sup>
$^{194}\text{Pb}$		6	41422	$2.730 \times 10^{-4}$	$4.140 \times 10^{-10}$	0.79	6 <sup>[19,20]</sup>
$^{196}\text{Pb}$		8	58609	$1.949 \times 10^{-4}$	$-5.608 \times 10^{-10}$	0.60	未指定

实验数据。在实验数据不确定的范围内调节指定的自旋值重新确定  $a, b$  直到(2)式能最佳拟合实验数据, 得到正确的自旋值。表 1 给出了我们的计算结果, 其中  $I_{\text{exit}}$  是我们定出的相应超形变带的最低自旋值(退激自旋), 而  $(I_{\text{exit}})_{\text{exp}}$  是实验家采用文献[12]建议的方法所得到的结果, 除  $^{191}\text{Hg}$  的 Band1 外, 所有  $I_{\text{exit}}$  均同实验家定出的一致, 然而我们的分析清楚表明, 为了最佳拟合实验数据  $^{191}\text{Hg}(b1)$  的最低自旋值应为  $15.5\hbar$ , 而不是  $14.5\hbar$ 。图 1(a) 给出我们计算的结果, 图形清楚表明  $I_{\text{exit}} = 15.5\hbar$  较好地拟合实验数据。若引入计算值与实验值的方均根偏差

$$\Delta = \sqrt{\frac{1}{N-n} \sum_r |E_r(I_{\text{cacl}}) - E_r(I_{\text{exp}})|^2}, \quad (3)$$

这里  $N$  为可资比较的能级间隔  $E_r$  的个数,  $n$  为参数个数, 则在  $I_{\text{exit}} = 15.5\hbar$  时  $\Delta = 3.9$  keV, 而若  $I_{\text{exit}} = 14.5\hbar$ , 则  $\Delta = 19.9$  keV, 与实验有较大偏离。在决定了超形变带的自旋值以后, 我们进一步用三参数公式<sup>[5]</sup>

$$E(I) = a[\sqrt{1 + bI(I+1)} + cI^2(I+1)^2 - 1], \quad (4)$$

拟合能谱。表 1 给出了使用参数及相应的方均根偏差  $\Delta$ 。图 1(b), 2, 3 给出了理论与实验  $\gamma$  射线的能量  $E_r(I)$  的比较, 其中曲线是由(4)式计算的结果, 使用参数见表 1, 实验点分别用不同的符号标出, 由图和表 1 可见理论与实验符合得很好, 15 条理论曲线与实验值的方均根偏差中, 有 11 条  $\Delta < 1$  keV, 最大偏差是  $^{193}\text{Hg}$  的两条行为反常的 Band1 和 Band4, 此时可能存在带交叉<sup>[15]</sup>。我们的分析表明: 1)  $W-Z$  公式分析  $A \sim 190$  区所有超形变带(包括奇  $A$  核和奇奇核)是很成功的, 用它从实验的  $E_r(I)$  值来决定超形变

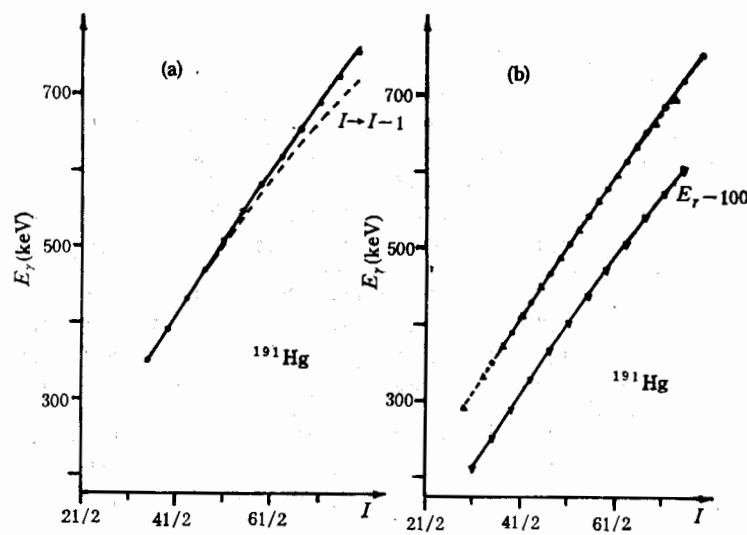
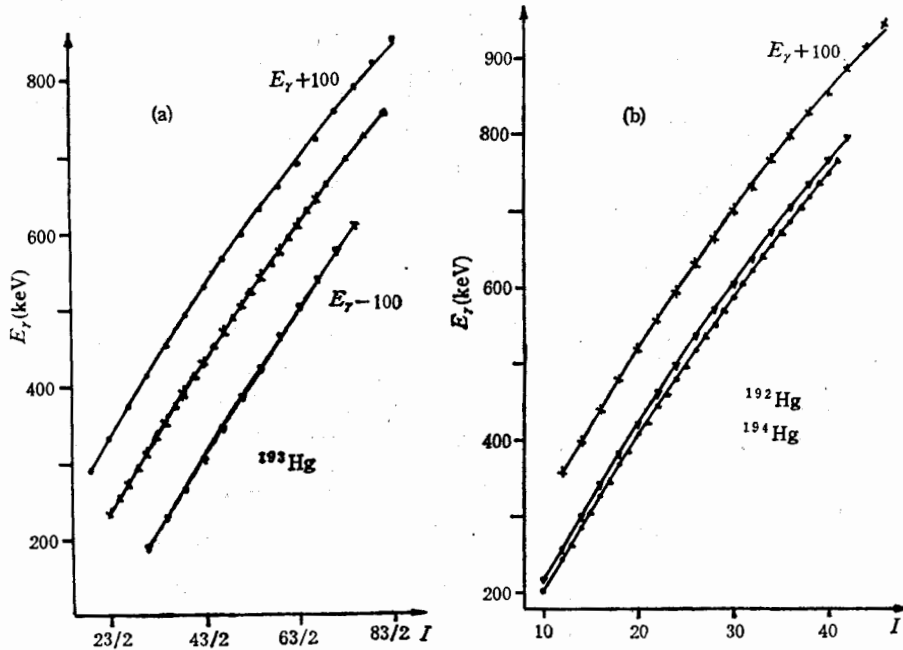


图 1

(a)  $^{191}\text{Hg}$  (Band1) 自旋的决定, 其中实线是理论曲线, 而虚线是  $I \rightarrow I - 1$  的结果。相应的横轴坐标  $I \rightarrow I - 1$ , 使用参数: 实线:  $a = 111175\text{keV}$ ,  $b = 9.4 \times 10^{-5}$ ; 虚线:  $a = 35616\text{keV}$ ,  $b = 3.2 \times 10^{-4}$ 。(b)  $^{191}\text{Hg}$  三条超形变带的理论  $E_r(I)$  与实验的比较。曲线为理论值; 实验值: Band1 ●, Band2 ▲, Band3 ▼。为使图形清晰, Band3 向下移动了 100 keV

图 2  $^{193}\text{Hg}, ^{192}\text{Hg}, ^{194}\text{Hg}$  超形变带理论  $E_r(I)$  与实验值的比较。计算参数见表 1。

为了清晰, 部分结果作了移动。

(a)  $^{193}\text{Hg}$  的结果, 实验值: Band1 ●, Band2 ▲, Band3 ×, Band4 ▼。(b)  $^{192}\text{Hg}, ^{194}\text{Hg}$  的结果, 实验值:  $^{192}\text{Hg} \nabla$ ,  $^{194}\text{Hg}$ : Band1 ×, Band2 ▲, Band3 ●

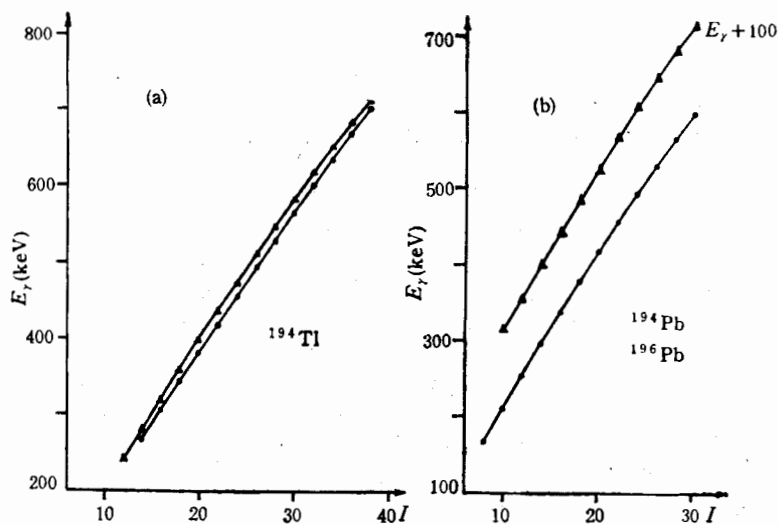


图 3  $^{194}\text{Tl}$ ,  $^{194}\text{Pb}$  和  $^{196}\text{Pb}$  超形变带理论  $E_r(I)$  同实验值的比较。计算参数见表 1。

$^{196}\text{Pb}$  向上移动了  $100\text{keV}$

(a)  $^{194}\text{Tl}$  的结果。实验值: Band1●, Band2▲ (b)  $^{194}\text{Pb}$  和  $^{196}\text{Pb}$  的结果。实验值:  $^{194}\text{Pb}$  ●,  $^{196}\text{Pb}$  ▲

带的自旋值是可靠的,不存在任意性。2)我们决定的  $A=190$  区超形变带自旋值  $I_{\text{exit}}$  同文献[1,2]使用的相同,因此文献[3,4]对  $I_{\text{exit}}$  移动  $1\hbar$  是不合适的,这样一个自然的结论就是:文献[1,2]对实验数据的分析是正确的,即在  $A=190$  区存在着一个  $^{192}\text{Hg}$  族(family),由九条超形变带构成,其相对于  $^{192}\text{Hg}$  的自旋顺排角动量在一相当大的转动频率范围内是量子化的<sup>[1,2]</sup>。3)Becker<sup>[12]</sup>等人提出通过拟合一定转动频率  $\omega$  范围内,如  $[\omega_{\text{exit}}, \omega_2] \mathcal{J}^{(2)}$  的实验数据,决定 Harris 展开系数,再在区间  $[0, \omega_{\text{exit}}]$  积分定退激自旋  $I_{\text{exit}}$  的方法,虽然存在某些不确定因素,但在  $A \sim 190$  区由于退激转动频率较低,同时  $\mathcal{J}^{(2)}$  是  $\omega$  的光滑函数,对偶偶核定出的退激自旋  $I_{\text{exit}}$  是正确的。但对奇  $A$  核及奇奇核,我们认为则应小心从事,而对  $A \sim 150$  区的超形变核由于退激转动频率较高, Becker 的方法是否适用是值得研究的。

由(4)式我们定义转动频率

$$\omega(I) = \frac{1}{\hbar} \frac{dE}{dI_x}, \quad (5)$$

这里

$$I_x = \sqrt{I(I+1) - K^2}, \quad (6)$$

则

$$\hbar\omega(I) = \frac{a[b + 2cI(I+1)]I_x}{\sqrt{1 + bI(I+1) + cI^2(I+1)^2}}. \quad (7)$$

设  $I \gg K$ , 则

$$\hbar\omega(I) = \frac{a[b + 2cI(I+1)]\sqrt{I(I+1)}}{\sqrt{1 + bI(I+1) + cI^2(I+1)^2}}. \quad (8)$$

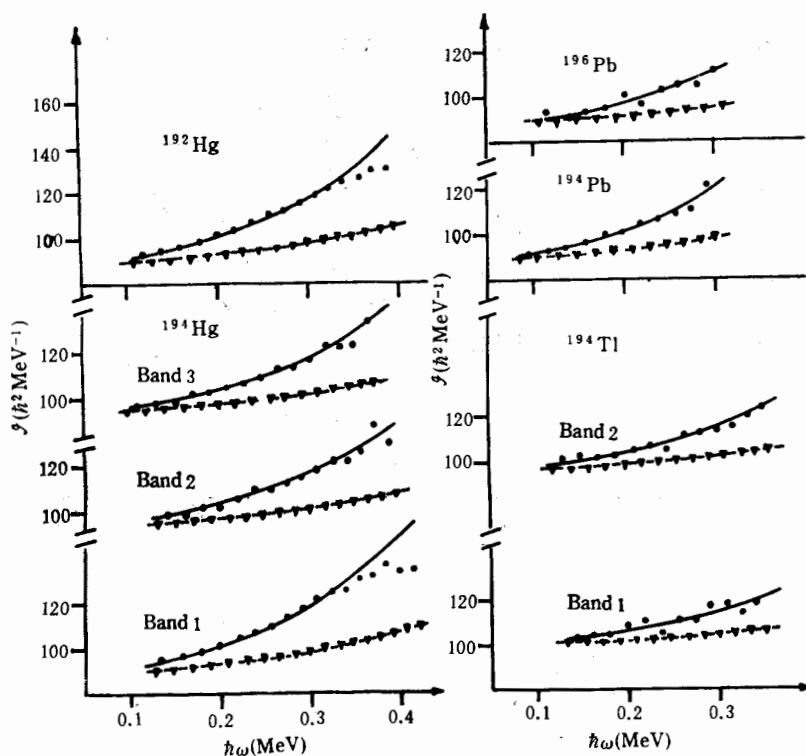


图 4  $^{192}\text{Hg}$ ,  $^{194}\text{Hg}$ ,  $^{194}\text{Tl}$ ,  $^{194}\text{Pb}$  和  $^{196}\text{Pb}$  两类转动惯量理论值与实验值的比较, 其中  
实线为  $\mathcal{J}^{(2)}$  的理论值; 虚线为  $\mathcal{J}^{(1)}$  的理论值。使用参数见表 1

实验值: ●  $\mathcal{J}^{(2)}$  ▼  $\mathcal{J}^{(1)}$

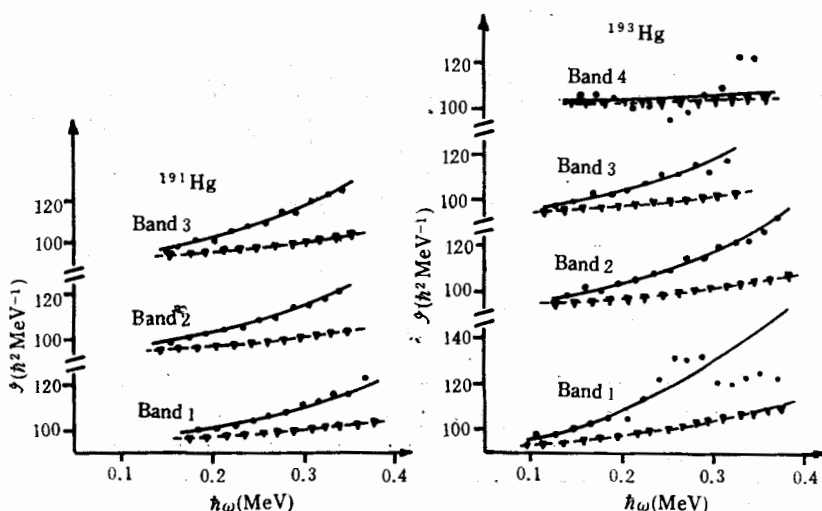
运动学转动惯量  $\mathcal{J}^{(1)}$  和动力学转动惯量  $\mathcal{J}^{(2)}$  分别为

$$\begin{aligned}\mathcal{J}^{(1)} &= \frac{\hbar I_s}{\omega(I)} \\ &= \frac{\hbar^2}{a(b + 2cI(I+1))} \sqrt{1 + bI(I+1) + cI^2(I+1)^2},\end{aligned}\quad (9)$$

$$\begin{aligned}\mathcal{J}^{(2)} &= \hbar \left( \frac{d\omega(I)}{dI_s} \right)^{-1} \\ &= \frac{\hbar^2}{a} \cdot \frac{[1 + bI(I+1) + cI^2(I+1)^2]^{3/2}}{a + 6cI(I+1) + 3bcI^2(I+1)^2 + 2c^2I^3(I+1)^3}.\end{aligned}\quad (10)$$

图 4、5 给出了计算的两类转动惯量  $\mathcal{J}^{(1)}$  和  $\mathcal{J}^{(2)}$  随  $\omega$  的变化, 并与实验值进行了比较。运动学转动惯量  $\mathcal{J}^{(1)}$  的实验值是用表 1 指定的自旋值, 由  $\mathcal{J}^{(1)} = (2I - 1)/E_r$  决定的。由图可见: 对  $A \sim 190$  区所有超形变带,  $\mathcal{J}^{(1)}$  和  $\mathcal{J}^{(2)}$  的理论曲线很好地重现了实验值, 给出了这一区域转动惯量随  $\omega$  增加而增加的普遍特征。对  $^{193}\text{Hg}$  两条反常的带  $^{193}\text{Hg}(\text{Band } 1)$ ,  $^{193}\text{Hg}(\text{Band } 4)$ ,  $\mathcal{J}^{(2)}$  理论曲线也给出了平均特征。

简短的结论:  $W-Z$  公式在分析  $A \sim 190$  区超形变带的带结构是相当成功的, 用它可以正确地决定超形变带的自旋值。利用三参数公式使  $A \sim 190$  区所有超形变带的理论能谱  $E_r(I)$ ,  $\mathcal{J}^{(1)}$  和  $\mathcal{J}^{(2)}$  与实验值很好地符合。

图 5  $^{191}\text{Hg}$ ,  $^{193}\text{Hg}$  两类转动惯量的理论值与实验值的比较、符号说明同图 4

## 参 考 文 献

- [1] F. S. Stephens et al., *Phys. Rev. Lett.*, **64**(1990), 2623.
- [2] F. S. Stephens et al., *Phys. Rev. Lett.*, **65**(1990), 301.
- [3] C-L. Wu et al., Comment on "Spin Alignment in Superdeformed Hg Nuclei", Submitted to *Phys. Rev. Lett.*,
- [4] C-L. Wu et al., Is There Non-Zero Quantized Spin Alignment in Superdeformed Nuclei, Submitted to *Phys. Rev. Lett.*.
- [5] 邢正, 陈星藻, 高能物理与核物理, **15**(1991), 第11期, 页码待定。
- [6] 吴崇试, 曾谨言, 高能物理与核物理, **8**(1984), 219; **8**(1984), 445; **9**(1985), 77; **9**(1985), 214.
- [7] C. S. Wu and J. Y. Zeng, *Commun. in Theor. Phys.*, **8**(1987), 51.
- [8] H. X. Huang, C. S. Wu and J. Y. Zeng, *Phys. Rev.*, **C39**(1989), 1617.
- [9] F. X. Xu, C. S. Wu and J. Y. Zeng, *Phys. Rev.*, **C40**(1989), 2337.
- [10] E. F. Moore et al., *Phys. Rev. Lett.*, **63**(1989), 360.
- [11] M. P. Carpenter et al., *Phys. Lett.*, **B240**(1990), 44.
- [12] J. A. Becker et al., *Phys. Rev.*, **C41**(1990), R9.
- [13] D. Ye et al., *Phys. Rev.*, **C41**(1990), R13.
- [14] E. A. Henry et al., *Z. Phys.*, **A335**(1990), 361.
- [15] D. M. Cullen et al., *Phys. Rev. Lett.*, **65**(1990), 1547.
- [16] C. W. Beausang et al., *Z. Phys.*, **A335**(1990), 325.
- [17] M. A. Riley et al., *Nucl. Phys.*, **A512**(1990), 178.
- [18] F. Azaiez et al., *Z. Phys.*, **A336**(1990), 243.
- [19] K. Theine et al., *Z. Phys.*, **A336**(1990), 113.
- [20] M. J. Brinkman et al., *Z. Phys.*, **A336**(1990), 115.

## Phenomenological Analysis and Determination of Spins for Superdeformed Bands in the Mass-190 Region

CHEN XINGQU XING ZHENG

(Department of Modern Physics, Lanzhou University, 730000)

### ABSTRACT

Fifteen superdeformed bands in seven nuclei of the mass-190 region are analyzed by means of the phenomenological model. An overall and excellent agreement between the calculated and observed spectra  $E_r$ , kinematic moment of inertia  $\mathcal{J}^{(1)}$  and dynamic moment of inertia  $\mathcal{J}^{(2)}$  is obtained for all superdeformed bands in the mass-190 region.